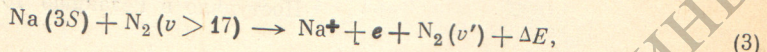


Естественно предположить, что процессы типа (1), опустоша ВВС, будут способствовать ускорению рекомбинационных процессов.

Возрастание скорости рекомбинации состоит в увеличении скорости диффузии электронов в энергетическом пространстве из континуума в основное состояние, так как тушение молекулами увеличивает вероятность разрушения уровней с переходом на нижележащие уровни. Если в процессе ударно-радиационной рекомбинации имеется «узкое место», то ускорение рекомбинации может происходить по следующим причинам. Во-первых, тушение ВВС является каналом, по которому электроны при диффузии в сторону отрицательных энергий обходят «узкое место», перешагивая через него с ВВС на нижележащие уровни. Во-вторых, тушение молекулами уровней, являющихся «узким местом», расширяет канал диффузии, проходящий через «узкое место».

Молекулы М могут влиять на скорость рекомбинации и другим путем, например при трехчастичном столкновении (2).

В работе [5] исследовалась реакция



являющаяся по своему типу обратной к (2). Приведенная авторами величина сечения $\sigma_{(3)} \sim 10^{-14} \text{ см}^2$ позволяет предположить, что процесс (2) может оказаться весьма эффективным и конкурировать с ударно-радиационной рекомбинацией при давлении М в несколько тор. Увеличение коэффициента электрон-ионной рекомбинации при учете взаимодействия электронов с колебательным движением молекул следует также из расчета, выполненного в [6].

При рассмотрении роли реакций (1) и (2) необходимо учесть скорости обратных реакций. Подобные оценки затруднены в общем виде, так как концентрации колебательно-возбужденных молекул зависят от конкретных условий в плазме.

Из сказанного следует, что тушение столкновения высоковозбужденных атомов с молекулами (1), а также реакции типа (2) могут оказывать существенное влияние как на заселенности возбужденных состояний атомов, так и на характер рекомбинационных процессов в плазме.

Литература

- [1] M. Czajkowski, L. Krause. Abstracts of papers VIII ICPEAC, vol. II, 627, Beograd, 1973.
- [2] Э. М. Андерсон, В. А. Зилитис. Опт. и спектр., 16, 177, 1964.
- [3] В. Н. Скребов. Опт. и спектр., 23, 205, 1967.
- [4] S. Byrgen, R. C. Stabler, P. I. Bortz. Phys. Rev. Lett., 8, 376, 1962.
- [5] R. Haug, G. Rappenecker, Ch. Schlierer, K. Schmidt. Abstracts of papers VIII ICPEAC, vol. II, 603, Beograd, 1973.
- [6] Ю. П. Денисов, Н. М. Кузнецов. ЖЭТФ, 61, 2298, 1971.

Поступило в Редакцию 29 ноября 1973 г.

УДК 539.186.3

ЭЛЕКТРОМАГНИТНОЕ ИЗЛУЧЕНИЕ ПРИ СИММЕТРИЧНЫХ ИОН-АТОМНЫХ СТОЛКНОВЕНИЯХ

Г. Ф. Друкарев и А. А. Михайлов

В настоящей работе рассматривается электромагнитное излучение, сопровождающее процесс резонансной перезарядки H на H⁺. Движение ядер полагается классическим. Волновую функцию электрона $\Psi(\mathbf{r}, R(t))$, где \mathbf{r} — радиус-вектор электрона, а $R(t)$ — межъядерное расстояние, считающееся заданной функцией времени, представим в виде

$$\Psi = a_1(t) \Psi_1 + a_2(t) \Psi_2, \quad (1)$$

где Ψ_1 , Ψ_2 — функции, описывающие Σ_g - и Σ_u -состояния иона H⁺ соответственно. Из условий при $t \rightarrow -\infty$ имеем: $|a_1| = |a_2| = 1/\sqrt{2}$. Видно, что с вероятностью 1/2 система H+H⁺ находится в состоянии Σ_u , из которого возможен переход с излучением в состояние Σ_g .

Рассмотрим радиационный распад состояния Σ_u с переходом в состояние Σ_g . Учитывая, что при тепловых скоростях ядер v и прицельных параметрах ρ , характерных для перезарядки, всегда выполняется соотношение $\tau \ll 1/\gamma$, где $\tau \sim \rho/v$, γ — характеристическая естественная ширина уровня, будем пренебрегать изменением веса исходного

состояния $\frac{1}{2}$ за счет излучения. Оператор взаимодействия электрона с электромагнитным полем $\hat{\mathbf{P}}$ записан, как обычно, в виде

$$\hat{\mathbf{F}} = \frac{e}{mc} \hat{\mathbf{A}} \hat{\mathbf{P}}, \quad (2)$$

где вектор-параметр $\hat{\mathbf{A}}$ представим в виде разложения по плоским волнам

$$\hat{\mathbf{A}} = \sqrt{2\pi\hbar} \sum_{\lambda} (2\pi)^{-\frac{1}{2}} \int \frac{d^3k}{\sqrt{k}} (\hat{a}_{\lambda, k} e^{ikr} + \hat{a}_{\lambda, k}^+ e^{-ikr}) \mathbf{n}_{\lambda}. \quad (3)$$

В этих формулах $\hat{\mathbf{P}}$ — оператор импульса электрона; e, m — его заряд и масса, соответственно; c — скорость света; $\mathbf{n}_{\lambda, k}$ — вектор поляризации фотона с волновым вектором \mathbf{k} и направлением поляризации λ .

В однофотонном приближении состояние электромагнитного поля будет в момент времени t описываться так:

$$\sum_{\lambda} \int_{\mathbf{k}} b_{\lambda, k}(t) e^{i\omega t} \hat{a}_{\lambda, k}^+ d^3k |0\rangle, \quad (4)$$

где $|0\rangle$ — вакуумный вектор состояния поля; $\hat{a}_{\lambda, k}^+$ — оператор рождения фотона с импульсом $\hbar\mathbf{k}$ и поляризацией λ , $b_{\lambda, k}(t)$ — соответствующая амплитуда; $\omega = k/c$ — круговая частота излучаемого фотона.

Для определения амплитуд $b_{\lambda, k}(t)$ в адиабатическом приближении имеем уравнение

$$i\hbar \frac{db_{\lambda, k}}{dt} = -\frac{e}{m} \left(\frac{2\pi\hbar}{\omega} \right)^{1/2} \exp \left(-\frac{i}{\hbar} \int_{-\infty}^t \Delta E dt + i\omega t \right) M_{\lambda, k}, \quad (5)$$

где ΔE — расщепление Σ_u - и Σ_g -термов, отвечающее межъядерному расстоянию $R(t)$, а $M_{\lambda, k} = \langle \Psi_2 | e^{-ikr} \hat{\mathbf{P}} \mathbf{n}_{\lambda, k} | \Psi_1 \rangle$. В дипольном приближении для $M_{\lambda, k}$ справедливо выражение

$$M_{\lambda, k} \equiv M_{\lambda} = \frac{m}{i\hbar} \langle \Psi_2 | \mathbf{r} \mathbf{n}_{\lambda} | \Psi_1 \rangle, \quad (6)$$

где у $M_{\lambda, k}$, $\mathbf{n}_{\lambda, k}$ опущен индекс k , \mathbf{r} — радиус-вектор электрона.

При не слишком малых R для ΔE и $\langle \Psi_2 | \mathbf{r} \mathbf{n}_{\lambda} | \Psi_1 \rangle$ могут быть использованы их асимптотические значения

$$\begin{aligned} \Delta E(R) &= 4R \exp(-R-1) 2R, \\ \langle \Psi_2 | \mathbf{r} \mathbf{n}_{\lambda} | \Psi_1 \rangle &= \frac{Ra_0}{2} \sin(\widehat{R, n_{\lambda}}), \end{aligned} \quad (7)$$

где $2R$ — атомная единица энергии; a_0 — атомная единица длины; R — межъядерное расстояние, которое здесь и ниже приводится в атомных единицах.

Обозначая через R_0 наименьшее межъядерное расстояние — классическая точка поворота, — разложим $R(t)$ в ряд по степеням t , принимая за $t=0$ момент времени, когда $R=R_0$,

$$R(t) = R_0 + \frac{a(R_0)}{2} t^2 + \dots \quad (8)$$

Из вида выражения (7) для ΔE очевидно, что мы можем сохранить в разложении (8) только два первых слагаемых, если R стоит в показателе экспоненты, и одно первое слагаемое для R в предэкспоненциальном множителе.

Оценим интегральную энергию излучения $I(\rho, v) = \int_0^{\infty} I_{\omega}(\rho, v) d\omega$, где $I_{\omega}(\rho, v)$ — интенсивность излучения на частоте ω , определяемая по формуле

$$I_{\omega}(\rho, v) = \frac{1}{2} \hbar \omega \frac{|b_{\lambda, k}|^2 \omega^2}{c^3}. \quad (9)$$

В (9) $|b_{\lambda, k}|_0^2$ означает $|b_{\lambda, k}|^2$, проинтегрированный по угловым координатам волнового вектора и просуммированный по обеим возможным поляризациям излучаемого фотона, а множитель $1/2$ учитывает вероятность нахождения системы $H + H^+$ в состоянии Σ_u . Полагая $\omega = \omega_0 + \Delta\omega$, где $\omega_0 = \Delta E(R_0)/\hbar$, и учитывая, что (как показывают оценки) максимум $|b_{\lambda, k}|_0^2$ приходится на частоту, очень близкую к ω_0 , и, кроме того, является довольно резким, получаем для оценки $I(\rho, v)$ следующее выражение:

$$I(\rho, v) \simeq \frac{\Delta E^3(R_0)}{2\hbar^2 c^3} \int_{-\infty}^{+\infty} |b_{\lambda, k}|_0^2 d\omega. \quad (10)$$

В формуле (10) сохранено слагаемое, вносящее основной вклад в $I(\rho, v)$, а пределы интегрирования $0, \infty$ заменены на $-\infty, +\infty$, что справедливо, если пренебречь предельно малыми ω_0 , т. е. очень большими R_0 . Получаем $I(\rho, v)$ в виде

$$I(\rho, v) = \frac{\sqrt{\pi} R_v}{\sqrt{a(R_0)} \hbar^4} \left(\frac{a_0}{c} \right)^3 R_i^2 \Delta E^4(R_0). \quad (11)$$

Если мы имеем газ, состоящий из атомов водорода и протонов, находящийся при температуре T , то полная мощность $w(T)$, излучаемая единицей объема в расчете на единичные концентрации атомов водорода и протонов, определяется, очевидно, формулой

$$w(T) = \int_0^{\infty} f_T(v) \left(v 2\pi \int_0^{\infty} I(\rho, v) \rho d\rho \right) dv, \quad (12)$$

где v — относительная скорость ядер, а $f_T(v)$ — максвелловская функция распределения по скоростям, отвечающая температуре T . Опуская все промежуточные выкладки, приведем для $w(T)$ окончательное выражение

$$w(T) = 5.2 \cdot 10^3 R_v (ca^2) \left(\frac{k T a_0}{\hbar c} \right)^4 R_0(T) \beta, \quad (13)$$

где k — постоянная Больцмана, β — поправочный множитель, изменяющийся в пределах от 0.5 до 1.5.

Для $T \leq 5000^\circ K$ можно положить $R_0(T) = \ln(R_v/kT)$, а β в этом случае будет близко к единице. С учетом этого при $T=5000^\circ K$ для $w(T)$ получается величина, близкая к $5.6 \cdot 10^{-35}$ вт·см³. Мощность, излучаемая единицей объема газа $W(T)$ при концентрациях атомов водорода и протонов n_H и n_{H^+} соответственно, находится, очевидно, из выражения

$$W(T) = w(T) n_H n_{H^+}. \quad (14)$$

Представляет определенный интерес сравнение $w(T)$ с аналогичной ей величиной для случая тормозного излучения электронов при столкновениях с атомами водорода, рассчитанной в [1]. Для неравновесных низкотемпературных плазм характерным является двух-трехкратное превышение температуры электронов T_e над температурой T атомов и ионов. Для $T_e \sim 10^4$ К величина, аналогичная $w(T)$, для тормозного излучения электронов оказывается близкой к 10^{-34} вт·см³, т. е. очень близкой к $w(T)$ при $T=5000^\circ K$.

В заключение авторы выражают признательность Е. Д. Трифонову за полезное обсуждение результатов.

Литература

- [1] О. Б. Фирсов, М. И. Чубисов. ЖЭТФ, 39, 1770, 1960.

Поступило в Редакцию 13 декабря 1973 г.